



# БИООРГАНИЧЕСКАЯ ХИМИЯ

том 15 \* № 9 \* 1989

УДК 577.175.859'17 : 546.11\*3

## ПОЛУЧЕНИЕ И СВОЙСТВА МЕЧЕННОГО ТРИТИЕМ ПРОСТАГЛАНДИНА D<sub>2</sub> С ВЫСОКОЙ МОЛЯРНОЙ РАДИОАКТИВНОСТЬЮ

*Шрам С. И., Вржесиц П. В.\*, Бобрович О. А.\*,  
Татаринцев А. В.\* , Павченко В. П., Мясоедов Н. Ф.*

*Институт молекулярной генетики Академии наук СССР, Москва;*

*\*Московский государственный университет им. М. В. Ломоносова,  
Проблемная научно-исследовательская лаборатория  
молекулярной биологии и биоорганической химии  
им. А. Н. Белозерского*

Определены кинетические параметры ферментативного превращения [<sup>3</sup>H]PGH<sub>2</sub> в присутствии препарата PGD-синтазы из крысиного мозга. Установлено, что максимальный выход [<sup>3</sup>H]PGD<sub>2</sub> достигается при концентрации фермента 2,5 мг/мл, позволяющей в 10 раз увеличить скорость превращения [<sup>3</sup>H]PGH<sub>2</sub> относительно контроля с буфером. Осуществлен двухстадийный ферментативный синтез [<sup>3</sup>H]PGD<sub>2</sub> с высокой молярной радиоактивностью (3,15 ТБк/ммоль) из меченной тритием арахидоновой кислоты (3,9 ТБк/ммоль). Об идентичности полученного [<sup>3</sup>H]PGD<sub>2</sub> с природным PGD<sub>2</sub> свидетельствует сохранение функции ингибирования ADP-вызванной агрегации тромбоцитов ( $IC_{50}$  — 53 нМ) и ферментативное превращение его в 15-кето-[<sup>3</sup>H]PGD<sub>2</sub>.

Использование простагландинов, меченных радиоактивными изотопами, в изучении метаболизма и механизма действия природных простагландинов и их синтетических аналогов позволяет значительно повысить чувствительность методов исследования. Важными проблемами в этой связи являются расширение спектра радиоактивно меченых простагландинов, разработка эффективных методов их синтеза и сравнение их с природными аналогами. Настоящая работа посвящена ферментативному синтезу меченого тритием простагландина PGD<sub>2</sub> с высокой молярной радиоактивностью.

PGD — природное полифункциональное соединение, продукт метаболизма полиненасыщенных жирных кислот [1]. Процесс превращения арахидоновой кислоты (АА) в PGD<sub>2</sub> представляет собой две последовательные ферментативные реакции. В результате первой, катализируемой ферментом PGH-синтазой (КФ 1.14.99.1), образуется PGH<sub>2</sub>. Вторую реакцию — изомеризацию PGH<sub>2</sub> в PGD<sub>2</sub> — могут осуществлять несколько различных ферментов [2—4].

Одна из особенностей ферментативного синтеза PGD<sub>2</sub> из арахидоновой кислоты — низкая стабильность промежуточного продукта — PGH<sub>2</sub>, который в водных растворах спонтанно разлагается с образованием PGE<sub>2</sub>, PGF<sub>2α</sub>, PGD<sub>2</sub> и других продуктов [5]. Поэтому полнота конверсии PGH<sub>2</sub> в PGD<sub>2</sub> будет зависеть от соотношения скоростей ферментативного и неферментативного превращений PGH<sub>2</sub>. Как следует из уравнения Михаэлиса — Ментен для скорости ферментативной реакции, это соотношение максимально, когда начальная концентрация [<sup>3</sup>H]PGH<sub>2</sub> · · [ $[PGH_2]_0$ ], используемого в качестве субстрата, будет значительно меньше величины константы Михаэлиса ( $K_m$ ) для PGH-PGD-изомеразы (14 мкМ) [4]. Это условие соблюдалось во всех экспериментах по синтезу [<sup>3</sup>H]PGD<sub>2</sub>.

Препарат специфического фермента PGH-PGD-изомеразы (PGD-синтаза, КФ 5.3.99.2), получали из крысиного мозга. В экспериментах по

Сокращения: PG — простагландин, AA — арахидоновая кислота.

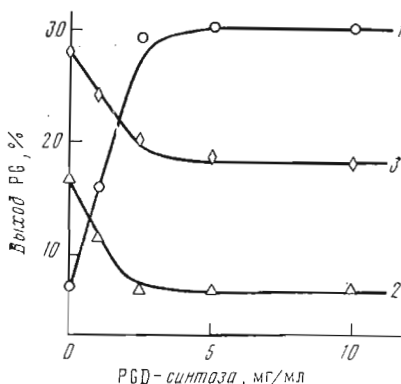


Рис. 1. Зависимость предельного выхода  $[^3\text{H}]PGD_2$  (1),  $[^3\text{H}]PGE_2$  (2) и  $[^3\text{H}]PGF_{2\alpha}$  (3) от концентрации PGD-синтазы при использовании в качестве субстрата  $[^3\text{H}]PGH_2$  (5 мкМ)

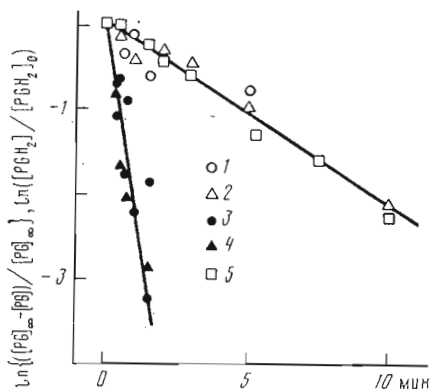


Рис. 2. Линеаризация интегральных кривых накопления  $[^3\text{H}]PGD_2$  и  $[^3\text{H}]PGE_2$  в отсутствие (1, 2) и в присутствии (3, 4) PGD-синтазы (2,5 мг/мл), а также спонтанного разложения  $PGH_2$  (5) для расчета  $k_{\text{набл}}^e$  и  $k_0^{\text{набл}}$

синтезу  $[^3\text{H}]PGD_2$  использовался препарат фермента, полученный после концентрирования с помощью ультрафильтрации и диализа цитозольной фракции.

В отсутствие фермента  $[^3\text{H}]PGH_2$  в результате спонтанного разложения превращается в  $[^3\text{H}]$ -простагландин D<sub>2</sub>, E<sub>2</sub> и F<sub>2α</sub> (7, 17 и 28% соответственно). При добавлении PGD-синтазы выход  $[^3\text{H}]PGD_2$  увеличивается и достигает максимального значения (30%) при концентрации фермента 2,5 мг/мл, тогда как выход  $[^3\text{H}]PGE_2$  и  $[^3\text{H}]PGF_{2\alpha}$  снижается (рис. 1). Такой характер зависимости указывает на существование конкуренции между реакциями ферментативного и неферментативного превращений  $[^3\text{H}]PGH_2$ .

Так как в проводимых экспериментах по синтезу  $[^3\text{H}]PGD_2$   $[PGH_2]_0 \ll K_m$ , скорости превращений  $[^3\text{H}]PGH_2$  в присутствии и в отсутствие фермента PGD-синтазы будут характеризоваться значениями наблюдаемых констант скорости реакции первого порядка (относительно субстрата —  $PGH_2$ ) —  $k_{\text{набл}}^e$  и  $k_0^{\text{набл}}$  соответственно. Последние определены с помощью линеаризации интегральных кривых, соответствующих расходованию субстрата и накоплению продуктов в ходе реакции (рис. 2). Ферментативную реакцию проводили при концентрации ферментного препарата, необходимой для получения максимального выхода  $[^3\text{H}]PGD_2$  (2,5 мг/мл). Значения  $k_{\text{набл}}^e$  и  $k_0^{\text{набл}}$  равны 0,21 и 2,11 мин<sup>-1</sup> соответственно. Таким образом, максимальный выход  $[^3\text{H}]PGD_2$  достигается при соотношении скоростей разложения  $[^3\text{H}]PGH_2$  в присутствии и в отсутствие ферментного препарата, равном 10.

Препартивный синтез  $[^3\text{H}]PGD_2$  проводили в две стадии. В качестве исходного вещества использовали 1,85 ГБк [5,6,8,9,11,12,14,15- $^3\text{H}$ ]AA (3,7 ТБк/ммоль). На первой стадии  $[^3\text{H}]AA$  превращали в  $[^3\text{H}]PGH_2$  под действием PGH-синтазы из везикулярных желез барана (рис. 3а, б). Выход  $[^3\text{H}]PGH_2$  после очистки с помощью препартивной TCX равнялся 20—25%.

В дальнейшем было проведено сравнение субстратных свойств для PGD-синтазы двух препаратов  $[^3\text{H}]PGH_2$  — до и после очистки методом TCX. При использовании очищенного препарата выход  $[^3\text{H}]PGD_2$  (относительно  $[^3\text{H}]PGH_2$ ) оказался почти в 2 раза выше.

Ферментативное превращение  $[^3\text{H}]PGH_2$  в  $[^3\text{H}]PGD_2$  (рис. 3в, г) под действием PGD-синтазы осуществляли при определенных выше условиях: выход  $[^3\text{H}]PGD_2$  составил 30%, а молярная радиоактивность равнялась 3,15 ТБк/ммоль.

Высокоспецифичным тестом на соответствие структуры полученного  $[^3\text{H}]PGD_2$  структуре природного PGD<sub>2</sub> могло бы быть его окисление под

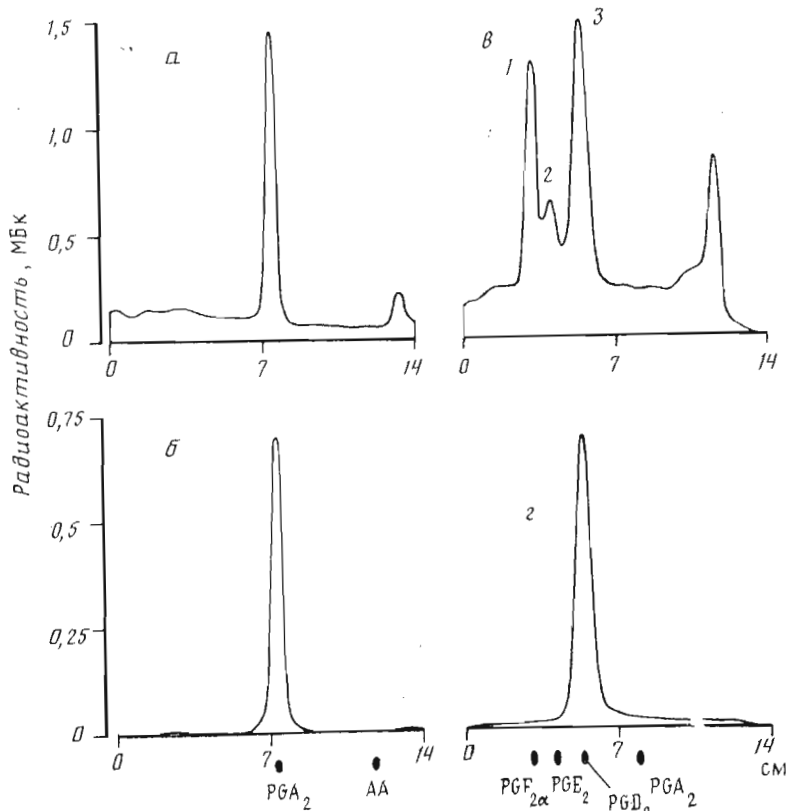


Рис. 3. Анализ радиоактивных продуктов, полученных на различных стадиях препаративного синтеза  $[^3\text{H}]PGD_2$ , методом ТСХ в системах растворителей А (для а, б) и Б (для в, г): синтез  $[^3\text{H}]PGH_2$  из  $[^3\text{H}]AA$  (а); очистка  $[^3\text{H}]PGH_2$  (б); превращение  $[^3\text{H}]PGH_2$  в  $[^3\text{H}]PGD_2$  (в, г), пик 1 —  $[^3\text{H}]PGF_{2\alpha}$ , 2 —  $[^3\text{H}]PGE_2$ , 3 —  $[^3\text{H}]PGD_2$ ; очистка  $[^3\text{H}]PGD_2$  (г). Внизу показано положение маркеров на пластинке

действием фермента 15-гидроксипростагландин-дегидрогеназы (КФ 1.1.1.141). 15-кето-PGD<sub>2</sub> в щелочной среде находится в виде енолят-аниона и обладает характерным спектром ( свойственным только 15-кетопроизводным простагландинов типа D) с максимумом при 415 нм [6].

Для анализа  $[^3\text{H}]PGD_2$  использовался препарат фермента, выделенный из тромбоцитов человека. Совпадение спектров продуктов окисления полученного нами  $[^3\text{H}]PGD_2$  и стандартного немеченого PGD<sub>2</sub> (рис. 4) показывает тождественность препаратов.

Известно, что PGD<sub>2</sub> — сильный ингибитор агрегации тромбоцитов [6], протекающей в присутствии ингибитора PGH-синтазы индометацина.  $[^3\text{H}]PGD_2$  также ингибировал ADP-вызванную агрегацию тромбоцитов (рис. 5). Полученный нами препарат  $[^3\text{H}]PGD_2$  с IC<sub>50</sub>, равной 53 мкМ, в этом эксперименте полностью идентичен препарату фирмы Amersham (Англия).

Таким образом, полученный ферментативным синтезом  $[^3\text{H}]PGD_2$  проявляет свойства, характерные для природного PGD<sub>2</sub>: ингибирует агрегацию тромбоцитов, а также способен превращаться в биологически неактивный метаболит под действием специфического фермента простагландин-дегидрогеназы. Поэтому он может быть использован для исследований метаболизма и механизма действия природного PGD<sub>2</sub>.

### Экспериментальная часть

В работе использовались: [5,6,8,9,11,12,14,15- $^3\text{H}_8$ ]AA (3,7 ТБк/ммоль), полученная в Институте молекулярной генетики АН СССР; [5,6,8,9,12,14,15- $^3\text{H}_7$ ]PGD<sub>2</sub> (5,92 ТБк/ммоль) — Amersham (Англия); AA — Fluka

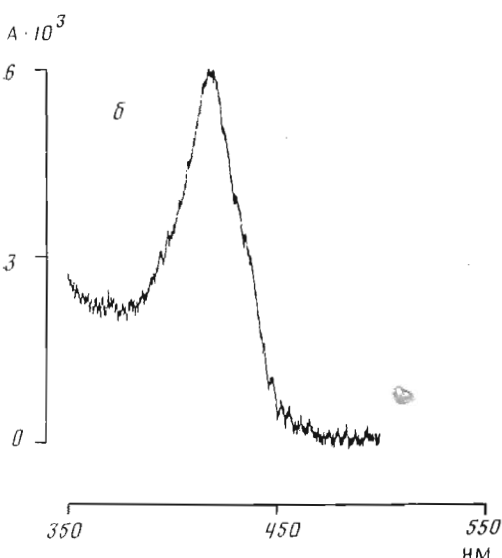
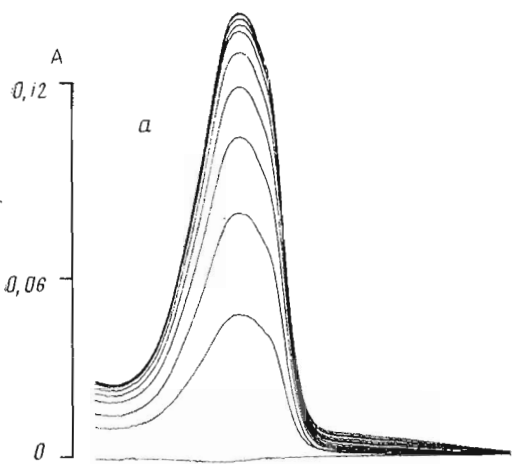


Рис. 4

Рис. 4. Спектры 15-кетопроизводных PGD<sub>2</sub> (*a*) и [<sup>3</sup>H]PGD<sub>2</sub> (*b*), образующихся под действием 15-гидроксипростагландин-дегидрогеназы (10 мкг/мл). В случае PGD<sub>2</sub> спектры (снизу вверх) снимали с интервалом 5 мин, а [<sup>3</sup>H]PGD<sub>2</sub> — через 30 мин после добавления фермента

Рис. 5. Зависимость скорости ADP вызванной агрегации тромбоцитов в присутствии индометацина (20 мкМ) от логарифма концентрации синтезированного (*1*) и коммерческого (*2*) препарата [<sup>3</sup>H]PGD<sub>2</sub>

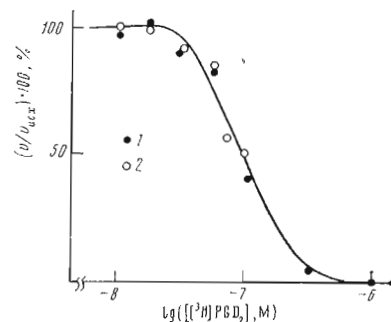


Рис. 5

(Швейцария); простагландины A<sub>2</sub>, D<sub>2</sub>, E<sub>2</sub>, F<sub>2α</sub> — коммерческие препараты (СССР, Таллинн); ADP, дитиотрейт, гемин ( $\text{Fe}^{3+}$  — протопорфирина IX) — препараты Sigma (США); L-адреналин, тиобарбитуровая кислота — препараты Serva (ФРГ); DEAE-целлюлоза и Р-целлюлоза — Whatman (Англия); Blue — Sepharose CL-6B — Pharmacia F. C. (Швеция); силикатные пластинки с толщиной слоя 0,2 мм (Merck, ФРГ). Остальные реактивы соответствуют марке ос. ч. Ацетон, используемый для хранения PGH<sub>2</sub> и [<sup>3</sup>H]PGH<sub>2</sub>, предварительно перегоняли с перманганатом калия и хранили над молекулярными ситами 4 Å (ГДР).

PGH<sub>2</sub> и [<sup>3</sup>H]PGH<sub>2</sub> получали по методу [7] с применением частично очищенного препарата PGH-сигназы из везикулярных желез барана. Активность препарата PGH-сигназы из везикулярных желез была равной 7,5 мкмоль АА/(мин·мг) ( $[\text{AA}]_0 = 0,2 \text{ мМ}$ , pH 8; 25°C). Выделение PGH<sub>2</sub> и [<sup>3</sup>H]PGH<sub>2</sub> из экстракта реакционной смеси проводили с помощью препаративной ТСХ при  $-20^\circ\text{C}$  в системе этилацетат — гексан — изопропанол — уксусная кислота, 15 : 9 : 1 : 0,05 (A). Очищенные препараты PGH<sub>2</sub> и [<sup>3</sup>H]PGH<sub>2</sub> были стабильными в течение 1,5—2 мес со времени их получения при хранении в ацетоне при  $-40^\circ\text{C}$  под аргоном. Концентрацию определяли по тиобарбитуровому тесту на малоновый диальдегид, который образуется при разложении PGH<sub>2</sub> в реагенте, используемом для анали-

за малонового диальдегида (0,3% раствор тиобарбитуровой кислоты в 0,1 н. HCl) [8].

Идентификацию и определение чистоты [<sup>3</sup>H]PGH<sub>2</sub> проводили с помощью реакции восстановления его в [<sup>3</sup>H]PGF<sub>2α</sub> под действием SnCl<sub>2</sub>. Аликвоту, содержащую 0,5—1 МБк [<sup>3</sup>H]PGH<sub>2</sub> в 10 мкл ацетона, помещали в пробирку. После удаления ацетона под вакуумом к [<sup>3</sup>H]PGH<sub>2</sub> одновременно добавляли 10 мкл раствора SnCl<sub>2</sub> (50 мг/мл) в метаноле и 100 мкл воды. После интенсивного встряхивания в течение 1 мин радиоактивные продукты экстрагировали этилацетатом (3 × 0,4 мл), разделяли с помощью TCX в системе этилацетат — 2,2,4-триметилпентан — уксусная кислота — вода, 110 : 50 : 20 : 100 (Б) и анализировали.

Для определения радиоактивности аликвоту реакционной смеси или препарата простагландинов помещали во флакон, содержащий 1 мл 1% раствора додецилсульфата натрия, и оставляли на 1 ч при комнатной температуре. Затем добавляли 10 мл диоксанового сцинтиллятора ЖС-8 и измеряли радиоактивность на приборе Mark-II (США). Предварительная обработка раствором додецилсульфата натрия необходима для разрушения мембранных компонентов и клеток. Концентрацию белка определяли по модифицированному методу Лоури [9].

PGD-синтазу получали из 13 г головного мозга (кроме продолговатого мозга и мозжечка) беспородных крыс. После извлечения мозг промывали в 10% растворе сахараозы, гомогенизировали в 70 мл 10 мМ калий-fosфатного буфера (рН 7) с 1 мМ дитиотреитом. Гомогенат (75 мл) центрифугировали 90 мин при 100 000 g и полученный супернатант концентрировали в ячейке для ультрафильтрации до объема 20 мл. Концентрированный препарат фермента дialisировали 5 ч в 10 мМ калий-fosфатном буфере (рН 7) с 1 мМ дитиотреитом (2 × 1 л). Полученный таким образом препарат PGD-синтазы (500 мг) с максимальной активностью 4,2 нмоль PGH<sub>2</sub>/(мин · мг) хранили при —70° С.

Реакцию изомеризации [<sup>3</sup>H]PGH<sub>2</sub> в [<sup>3</sup>H]PGD<sub>2</sub> под действием PGD-синтазы проводили при стандартных условиях. Пробирку, содержащую аликвоту [<sup>3</sup>H]PGH<sub>2</sub> (2,18 МБк) в 10 мкл ацетона, помещали на несколько минут (до полного удаления растворителя) под вакуум. Затем к [<sup>3</sup>H]PGH<sub>2</sub> добавляли 100 мкл раствора фермента в 0,1 М трис-HCl (рН 9,5) и инкубировали с перемешиванием при 25° С. Концентрация ферментного препарата и время проведения реакции определялись условиями эксперимента. В опытах по определению кинетики накопления продуктов реакции останавливали добавлением 10 мкл раствора SnCl<sub>2</sub> (50 мг/мл) в метаноле. Продукты реакции экстрагировали этилацетатом (3 × 0,4 мл) и анализировали распределение радиоактивных продуктов после TCX в системе растворителей Б в присутствии стандартных простагландинов A<sub>2</sub>, D<sub>2</sub>, E<sub>2</sub> и F<sub>2α</sub> (по 2 мкг). Зоны, соответствующие этим простагландинам, обнаруживали парами иода, а радиоактивные продукты — сканированием радиоактивности на приборе Berthold 27/N (ФРГ). PGA<sub>2</sub> применяли как маркер PGH<sub>2</sub> ввиду их близкой хроматографической подвижности.

Значения наблюдаемых констант скорости разложения PGH<sub>2</sub> и [<sup>3</sup>H]PGH<sub>2</sub> ( $k_{\text{набл}}^{\circ}$  и  $k_{\text{набл}}^{\text{e}}$ ) определяли графически, исходя из стандартных уравнений, описывающих кинетику реакций первого порядка. Полученные из экспериментальных точек интегральные кинетические кривые линеаризовали в координатах:  $\ln \{[\text{PG}]_{\infty} - [\text{PG}]\}/[\text{PG}]_{\infty}$  или  $\ln \{[\text{PGH}_2]/[\text{PGH}_2]_0\}$  от времени инкубации ([PG] и [PGH<sub>2</sub>] — текущие концентрации PG и PGH<sub>2</sub>; [PG]<sub>∞</sub> — предельная концентрация PG при определенной концентрации субстрата и фермента).

Ферментативный синтез [<sup>3</sup>H]PGD<sub>2</sub> проводили с использованием 450 МБк [<sup>3</sup>H]PGH<sub>2</sub>, который был получен из 1,85 ГБк [<sup>3</sup>H]АА. [<sup>3</sup>H]PGH<sub>2</sub> помещали в колбу на 200 мл и добавляли 20 мл раствора PGD-синтазы (до концентрации 2,5 мг/мл) в 0,1 М трис-HCl-буфере (рН 9,5). Через 20 мин инкубации при 20° С в реакционную смесь добавляли 0,8 мл 2 M раствора лимонной кислоты и экстрагировали продукты реакции этилацетатом (4 × 100 мл). [<sup>3</sup>H]PGD<sub>2</sub> выделяли из экстракта с помощью ВЭЖХ (Gilson) на колонке (3,3 × 150 мм) с Nucleosil C18,5 мкм. Колонку элюиро-

вали 33% ацетонитрилом, содержащим 1% уксусной кислоты, со скоростью 0,1 мл/мин. За выходом радиоактивных продуктов следили с помощью радиодетектора. Фракции, содержащие [<sup>3</sup>H]PGD<sub>2</sub>, собирали, удаляли растворитель и остаток растворяли в смеси метанол — вода — ацетонитрил, 3 : 2 : 1. Молярную концентрацию [<sup>3</sup>H]PGD<sub>2</sub> определяли по ферментативному превращению его в 15-кето-[<sup>3</sup>H]PGD<sub>2</sub>, как описано ниже. [<sup>3</sup>H]PGD<sub>2</sub> был стабилен 4 мес после его получения при —20° С.

15-Гидроксипростагландин-дегидрогеназу выделяли из 75 г осажденных при фракционировании крови человека тромбоцитов (получены на Центральной станции переливания крови, Москва) по методу [6]. Активность очищенного препарата фермента при использовании в качестве субстрата PGD<sub>2</sub> равнялась 1,1 нмоль PGD<sub>2</sub>/(мин·мг) ( $[PGD_2]_0 = 0,2 \text{ мМ}$ , pH 9; 25° С).

Реакцию ферментативного окисления [<sup>3</sup>H]PGD<sub>2</sub> и PGD<sub>2</sub> в соответствующие 15-кетопроизводные проводили следующим образом. В спектрофотометрическую кювету на 1,5 мл вносили 0,2 мкмоль NADP, 10 мкг препарата 15-гидроксипростагландин-дегидрогеназы и доводили объем до 1 мл 0,1 М трипл-НСl (pH 9) с 1 мМ дитиотреитом. Реакцию начинали добавлением 50 нмоль PGD<sub>2</sub> или 6,29 МБк [<sup>3</sup>H]PGD<sub>2</sub> в 10 мкл этилового спирта (в кювету сравнения вместо PGD<sub>2</sub> или [<sup>3</sup>H]PGD<sub>2</sub> добавляли этиловый спирт). После выравнивания базовой линии записывали спектры поглощения в интервале 350—550 нм. Кюветы терmostатировали при 25° С. Для расчета концентраций 15-кетопроизводных PGD<sub>2</sub> и [<sup>3</sup>H]PGD<sub>2</sub> использовали молярный коэффициент поглощения, равный 46 000 M<sup>-1</sup>·cm<sup>-1</sup> ( $\lambda = 415 \text{ нм}$ , pH 9,5) [6].

Определение скорости и степени ADP-вызванной агрегации тромбоцитов проводили с использованием плазмы, богатой тромбоцитами, как было описано ранее [10]. К 250 мкл плазмы, богатой тромбоцитами, добавляли [<sup>3</sup>H]PGD<sub>2</sub> в 10 мкл воды, индометацин (5 нмоль) и предынкубировали 2 мин при 25° С. Агрегацию инициировали добавлением ADP (1,25 нмоль). Внесение всех компонентов и дальнейшую инкубацию осуществляли при постоянном перемешивании и температуре 25° С. Степень агрегации тромбоцитов определяли по изменению поглощения и рассеивания света относительно плазмы, лишенной тромбоцитов. Из полученных кинетических кривых рассчитывали начальные скорости агрегации тромбоцитов в присутствии и в отсутствие [<sup>3</sup>H]PGD<sub>2</sub> ( $v$  и  $v_{\text{исх}}$  соответственно).

#### СПИСОК ЛИТЕРАТУРЫ

1. Nugteren D. H., Hazelhof E. // Biochim. et biophys. acta. 1973. V. 326. № 3. P. 448—461.
2. Hamberg M., Fredholm B. B. // Biochim. et biophys. acta. 1976. V. 431. № 1. P. 189—193.
3. Christ-Hazelhof E., Nugteren D. H. // Biochim. et biophys. acta. 1979. V. 572. № 1. P. 43—51.
4. Urade Y., Fujimoto N., Hayaishi O. // J. Biol. Chem. 1985. V. 260. № 23. P. 12410—12415.
5. Hamberg M., Swansson J., Wakabayashi T., Samuelsson B. // Proc. Nat. Acad. Sci. USA. 1974. V. 71. № 2. P. 345—349.
6. Watanabe T., Shimizu T., Narumiya S., Hayaishi O. // Arch. Biochem. and Biophys. 1982. V. 216. № 1. P. 372—379.
7. Meth. Enzymol. 1982. V. 86. P. 376—385.
8. Басевич В. В., Мещ А. Т., Ярвинг И., Варфоломеев С. Д. // Биорган. химия. 1983. Т. 9. № 5. С. 658—665.
9. Hartree E. F. // Analyt. Biochem. 1972. V. 48. № 2. P. 422—427.
10. Шевченко В. П., Нагаев И. Ю., Вржесц П. В., Ершов Д. З., Зайцев С. В., Варфоломеев С. Д., Мясоедов Н. Ф. // Биорган. химия. 1988. Т. 14. № 8. С. 1075—1085.

Поступила в редакцию  
26.X.1988

После доработки  
25.I.1989

PRODUCTION AND PROPERTIES OF TRITIUM-LABELLED  
PROSTAGLANDIN D<sub>2</sub> WITH HIGH MOLAR RADIOACTIVITY

SHRAM S. Y., VRZHESHCH P. V.\* BOBROVICH O. A.\* TATARINTSEV A. B.\*,  
SHEVCHENKO V. P., MYASOEDOV N. F.

*Institute of Molecular Genetics, Academy of Sciences of the USSR,  
Moscow;*

\* *A. N. Belozersky Laboratory of Molecular Biology and Bioorganic  
Chemistry, M. V. Lomonosov Moscow State University*

Kinetic parameters of enzymatic and non-enzymatic transformations of [<sup>3</sup>H]prostaglandin H<sub>2</sub> (PGH<sub>2</sub>) were determined; the maximum yield of [<sup>3</sup>H]PGD<sub>2</sub> being obtained at the  $k_{obs}^e/k_{obs}^0$  ratio equal to 10. The two-stage enzymatic synthesis of [<sup>3</sup>H]PGD<sub>2</sub> with high molar radioactivity (3,15 TBq/mmol) from [<sup>3</sup>H]arachidonic acid carried out. Its identity in properties to the natural PGD<sub>2</sub> was shown in experiments on the inhibition of ADP-induced aggregation of thrombocytes and on enzymatic oxidation with 15-hydroxyprostaglandin dehydrogenase.